

## 0.2(PbMg<sub>1/3</sub>Nb<sub>2/3</sub>O<sub>3</sub>)–0.8(PbZr<sub>0.475</sub>Ti<sub>0.525</sub>O<sub>3</sub>) 적층형 세라믹 액츄에이터의 전기적 열화 특성

고중혁, 정순종, 하문수, 이동만\*, 송재성

한국전기연구원, \*Smart electronics

### Electric aging phenomena of 0.2(PbMg<sub>1/3</sub>Nb<sub>2/3</sub>O<sub>3</sub>) – 0.8(PbZr<sub>0.475</sub>Ti<sub>0.525</sub>O<sub>3</sub>) Multilayer Ceramic Actuators

Jung-Hyuk Koh, Soon-Jong Jeong, Moon-Su Ha, Dong-Man Lee\*, and Jae-Sung Song  
Keri, Smart electronics

#### Abstract

0.2(PbMg<sub>1/3</sub>Nb<sub>2/3</sub>O<sub>3</sub>) – 0.8(PbZr<sub>0.475</sub>Ti<sub>0.525</sub>O<sub>3</sub>) 조성을 이용하여 5 x 5 x 5 mm<sup>3</sup> 의 적층형 세라믹 액츄에이터 소자를 tape casting 방식으로 제작하였다. 전극재로서는 Ag-Pd를 이용하여 총 50층의 layer를 적층하였으며, 적층된 액츄에이터를 1100°C의 온도에서 소결하였다. X-ray diffractometer를 이용하여 제작된 소자와 열화된 소자의 구조적인 특성을 분석하였다. 제작된 소자의 열화 특성을 알아보기 위하여 60 Hz의 triangular wave를 인가하여 열화전과 후의 *P-E* hysteresis loop의 변화를 살펴보았으며, 인가된 전압의 변화에 따라서 소자에서 발생되는 양의 열을 측정하였다. 파괴된 소자의 파단면에 대한 SEM 분석을 통하여 소자의 파괴 메카니즘을 알아보도록 하였다. 이로부터 전기적, 기계적 열화가 소자의 동작에 미치는 영향에 대해서 알아 보았다.

Key Words : PMN-PZT, actuator, aging

#### 1. 서 론

최근 유전체 재료의 눈부신 발전에 따라서, 다양한 종류의 압전(piezoelectric) 소재들이 개발되고 있다. 압전재료를 이용한 actuator는 현재 많이 사용되고 있는 자석을 이용한 actuating 방식과 비교해서 빠른 응답성, 정확한 위치제어, 큰 발생력 등의 장점이 있어 지속적인 발전이 있을것으로 기대되는 분야이다. 이를 위해서 높은 Curie temperature, 높은 압전상수  $d_{33}$ , 높은 전기기계결합계수 ( $K_p$ )를 가지는 물질을 개발하고자 하는 연구가 끊임없이 진행되고 있으며, PZN-PT [1], PMN-PT[2] 등의 물질에서 우수한 특성이 관찰되

고 있다. 현재까지 개발된 재료중 PMN-PZT는 위에서 언급된 사항들을 만족시켜주는 재료로서 적층형 세라믹 액츄에이터 (Multilayer Ceramic Actuator)를 제작함에 있어서 가장 적절하다고 판단되는 물질중의 하나이다. 하지만 가혹한 사용조건하에서 장시간 사용하다 보면, 소자의 전기적, 기계적인 열화 및 이에 따른 소자의 파괴 현상이 수반되게 된다. 따라서, 소자의 열화특성 및 파괴 메카니즘을 규명하는 것이, 높은 신뢰성을 지니는 소자를 제작하게 할 수 있게 한다고 사료된다. 따라서 본연구에서는 이 PMN-PZT를 이용한 적층형 actuator를 제작한후 소자를 열화시켜 그 전기적, 기계적 특성의 변화를 살펴 보고자 하였다.

## 2. 실험

### 2.1 실험방법

$0.2(\text{PbMg}_{1/3}\text{Nb}_{2/3}\text{O}_3) - 0.8(\text{PbZr}_{0.475}\text{Ti}_{0.525}\text{O}_3)$  (PMN-PZT) 파우더를 제작하기 위해서 순도가 99.9 % 이상인  $\text{PbO}$ ,  $\text{MnO}_2$ ,  $\text{Nb}_2\text{O}_5$ ,  $\text{TiO}_2$ ,  $\text{ZrO}_2$  분말을 사용하였으며, Pyrochlore 상을 억제하기 위하여 columbite법을 사용하였다. 준비된 파우더로부터 슬러리(slurry)를 제작하여 tape casting 방법으로 100  $\mu\text{m}$  두께의 sheet를 제작한 후, screen printing 기법으로 전극을 patterning 하였다. 전극 재료로서는  $\text{Ag}_{70}\text{-Pd}_{30}$ 을 사용하였다. 이후 lamination 과 cutting의 순서로  $5 \times 5 \times 5 \text{ mm}^3$  크기의 소자를 제작하였다. Cutting된 소자를 1100°C의 온도에서 2시간 동안 소결하였다.

### 2.1 측정방법

제작된 소자의 결정분석을 위해서 X-ray diffractometer를 사용하였으며, lattice-parameter를 계산하기 위하여 Nelson-Railey 함수를 이용하였으며, 최소자승법법으로 fitting 하였다. 시편의 변위량을 정확하게 측정하기 위해서 Laser vibrometer를 이용하여 측정하였다. P-E hysteresis loop를 측정하기 위해 Sawer-Tower를 이용하였다. 2 kV/mm 전계의 triangular wave를 시편에 인가하여 시편에 열화가 발생하도록 유도하였으며, 이때의 주파수는 60 Hz를 사용하였다. 이후 파괴된 시편의 파단면을 SEM (Scanning Electron Microscopy)를 통해서 표면을 분석하였습니다.

## 3. 결과 및 고찰

그림 1은 제작된 PMN-PZT 적층형 세라믹 액츄에이터의 X 선 회절 패턴을 보여주고 있다. 그림 1에 보이는 바와 같이  $(001)$ ,  $(h00)$ 로부터  $0.2(\text{PbMg}_{1/3}\text{Nb}_{2/3}\text{O}_3) - 0.8(\text{PbZr}_{0.475}\text{Ti}_{0.525}\text{O}_3)$  적층형 세라믹 액츄에이터는 상온에서 Tetragonal structure를 가지고 있음을 알 수 있었다. 위의 XRD 결과로부터 Nelson-Railey 함수를 이용하여 lattice parameter  $c$ ,  $a$ 를 계산하여 이를 표 1에 나타내었다. 이 표로부터  $c/a$ 를 계산해본 결과 cubic 구조에 가까운 tetragonal 구조임을 알 수 있었다. 그림 2에

서 보는 바와 같이 poling이 된 시료는 poling이 안 된 시료에 비해서  $(001)$  방향으로 보다 큰 intensity를 가지고 있음을 관찰하였다. 이것은 액츄에이터를  $<001>$  방향으로 poling함에 따라서 많은 dipole들이 전계와 같은 방향으로 배열하기 때문에 intensity가 증가한다고 생각할 수 있다. 또한 poling된 재료를 aging 시킴에 따라서  $(001)$ 과  $(100)$ 의 intensity가 비슷하게 되어 unpoled 시킨 재료의 경우와 비슷하게 됨을 알 수 있었다. 이로부터 poling된 시편이 aged됨에 따라서, poling이 감소하여 unpoled된 시편과 같은 경향을 갖게 됨을 알 수 있었다.

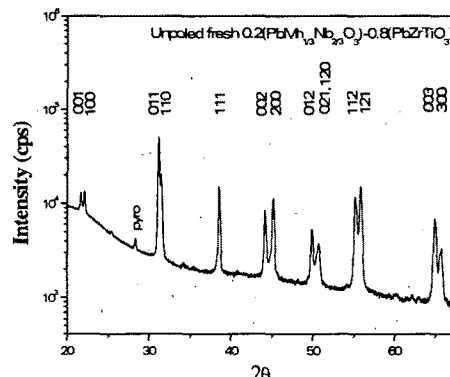


그림 1. 제작된  $\text{PbMg}_{1/3}\text{Nb}_{2/3}\text{O}_3\text{-PbZr}_{0.475}\text{Ti}_{0.525}\text{O}_3$  적층형 세라믹 액츄에이터의 X 선 회절 패턴.

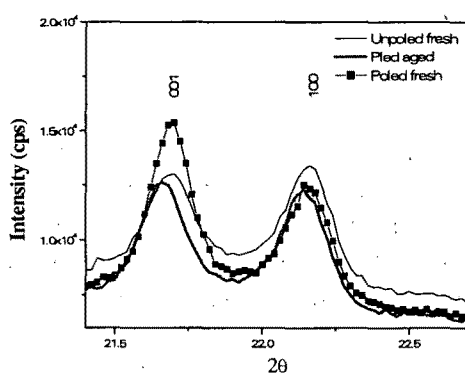


그림 2.  $(001)$ 과  $(100)$  miller index of  $\text{PbMg}_{1/3}\text{Nb}_{2/3}\text{O}_3\text{-PbZr}_{0.475}\text{Ti}_{0.525}\text{O}_3$  적층형 세라믹 액츄에이터

표 1. Lattice parameter  $c$ ,  $a$  of  $0.2(\text{PbMg}_{1/3}\text{Nb}_{2/3}\text{O}_3) - 0.8(\text{PbZr}_{0.475}\text{Ti}_{0.525}\text{O}_3)$  적층형 세라믹 액츄에이터

	Unpoled fresh	Poled fresh	poled aged
$c$	4.377	4.385	4.377
$a$	4.334	4.352	4.347
$c/a$	1.009	1.007	1.007

그림 3은 Sawyer-Tower에 의해서 측정된  $P-E$  hysteresis loops를 보여주고 있다. 60 Hz의 2kV/mm의 전계를 적층형 액츄에이터 시편에 인가하여 cycle수에 따른 액츄에이터의 열화정도를 측정하고자 하였다. 그림 3에서 보는 바와 같이  $8.7 \times 10^7$  cycles 이후에 액츄에이터는 약간 변형된 loop를 보여주고 있으나,  $P_r$ ,  $P_s$ ,  $E_c$  등의 값이 크게 변화되지는 않았음을 알 수 있다.

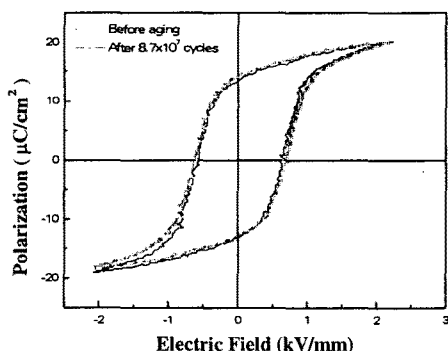


그림 3은 Sawyer-Tower에 의해 측정된  $0.2(\text{PbMg}_{1/3}\text{Nb}_{2/3}\text{O}_3) - 0.8(\text{PbZr}_{0.475}\text{Ti}_{0.525}\text{O}_3)$  적층형 세라믹 액츄에이터의  $P-E$  hysteresis loops.

그림 4는 60 Hz의 삼각파 형태의 전계를 인가함에 따라서 적층형 세라믹 액츄에이터에서 발생되는 온도를 측정한 프래프이다. 그림에서 보는 바와 같이 인가 전계의 크기에 따라서 PMN-PZT 액츄에이터에서 발생하는 열이 점점 증가함을 볼 수 있다. 인가 전계에 따라서 편차가 있지만 전계를 인가 후 대략 150 초가 지난 이후에 포화되기 시작하였으며, 포화가 될 때까지 걸린 시간은 0.3 kV/mm를 제외하면, 인가 전계가 증가함에 따라서 온도의 증가가 포화되는 시간은 변하지 않음이 관찰되었다. 시편의 크기에 따른 발열 면적 및 전극재료에 따라서 다른 값을 보이겠으나, 50층으로 구성된

5×5×5 mm<sup>3</sup>크기의 액츄에이터의 경우 2 kV/mm 전계를 가했을 때 PMN-PZT 액츄에이터의 온도가 170 °C까지 증가함을 알 수 있었다.

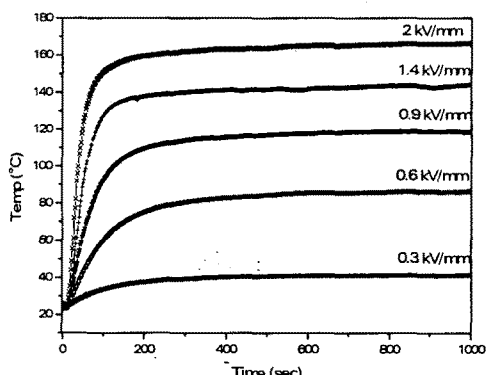


그림 4 인가전계에 따른  $0.2(\text{PbMg}_{1/3}\text{Nb}_{2/3}\text{O}_3) - 0.8(\text{PbZr}_{0.475}\text{Ti}_{0.525}\text{O}_3)$  적층형 세라믹 액츄에이터의 온도특성 곡선

그림 5는 60 Hz, 2 kV/mm의 삼각파형 전계를 인가함에 따라서 열화가 발생하여 파된 시편의 표면을 보여주고 있다. 강한 전계를 인가함에 따라서 장방향  $d_{33}$  모드에 인한 변위가 발생하게 되고 이 주기적으로 발생되는 변위에 의해서 기계적인 피로가 발생하여 crack이 발생된 것으로 사료된다. 이렇게 발생된 crack은 grain boundary에 상관없이 발생하여 진행되었고, 이 기계적인 파괴가 궁극적으로 PMN-PZT 액츄에이터 소자의 파괴를 야기 한 것으로 사료된다.

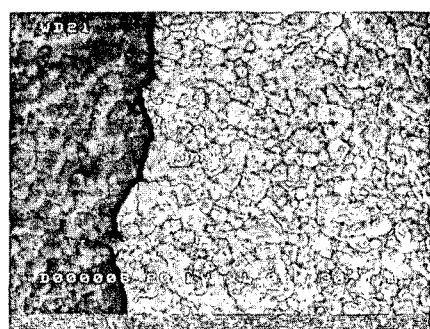


그림 5.  $0.2(\text{PbMg}_{1/3}\text{Nb}_{2/3}\text{O}_3) - 0.8(\text{PbZr}_{0.475}\text{Ti}_{0.525}\text{O}_3)$  적층형 세라믹 액츄에이터 파단면의 SEM (Scanning Electron Microscopy) 사진

#### 4. 결 론

60 Hz, 2 kV/mm 삼각파의 전계를 0.2(PbMg<sub>1/3</sub>Nb<sub>2/3</sub>O<sub>3</sub>) - 0.8(PbZr<sub>0.475</sub>Ti<sub>0.525</sub>O<sub>3</sub>) 적층형 세라믹 액츄에이터에 인가하여 열화특성을 파악하였다. X선 분석으로부터 열화에 따른 격자상수의 변환은 거의 없음을 확인하였으며, *P-E* hysteresis 루프를 측정하여 전기적인 열화 현상을 관찰하였으며, 파괴된 시편의 SEM사진으로부터 기계적인 crack의 성장을 볼 수 있었다.

#### 감사의 글

이 연구는 과학기술부의 21st 세기 frontier R&D 프로그램인 Center for Advanced Materials Processing (CAMP)의 지원에 의해서 이루어 졌습니다.

#### 참고 문헌

- [1] A. Halliyal, A. Safari, "Synthesis and properties of lead zinc niobate:Pb(Zb1/3Nb2/3)O<sub>3</sub> based relaxor ferroelectrics", Ferroelectrics, 158권, p. 295, 1994.
- [2] Yiping Guo, Haosu Luo, Kepi Chen, Xiao주 Zhang, Zhiwen Yin, "Effect of composition and poling field on the properties and ferroelectric phase-stability of Pb(Mg1/3Nb2/3)O<sub>3</sub>-PbTiO<sub>3</sub> crystals", J. Appl. Phys, Vol 92, p. 6134, 2002.